

Reunión intercongresos del grupo de investigación de la FES: Desigualdad y Estratificación Social



La hipótesis de la modernización reconsiderada. La movilidad social en España: de la transición a nuestros días

Universitat Pompeu Fabra, 8-9 de Septiembre, 2014



Ildefonso Marqués Perales
Departamento de Sociología
Universidad de Sevilla



Carlos J. Gil
Departamento de Sociología
Universidad de Sevilla



Sandra Fachelli
Departamento de Sociología y
Análisis de las Organizaciones
Universidad de Barcelona



Pedro López-Roldán
Departamento de Sociología
Universidad Autónoma de Barcelona



ESQUEMA

- TEORÍA E HIPÓTESIS
 - LA TEORÍA DE LA MODERNIZACIÓN Y SUS CRÍTICOS
 - EL CASO ESPAÑOL: ¿EXCEPCIONALISMO?
 - ESTADO DE LA CUESTIÓN
- DATOS y METODOLOGÍA
 - ENCUESTA
 - ESQUEMA DE CLASE
 - COHORTES
 - MODELOS LOG-LINEAR
 - MEDIDAS DE AJUSTE
- MOVILIDAD RELATIVA: CAMBIO TEMPORAL
- MOVILIDAD SOCIAL Y EDUCACIÓN
 - EL TRIÁNGULO OED
- CONCLUSIONES

INTERPRETACIONES TEÓRICAS

1. MODERNIZACIÓN

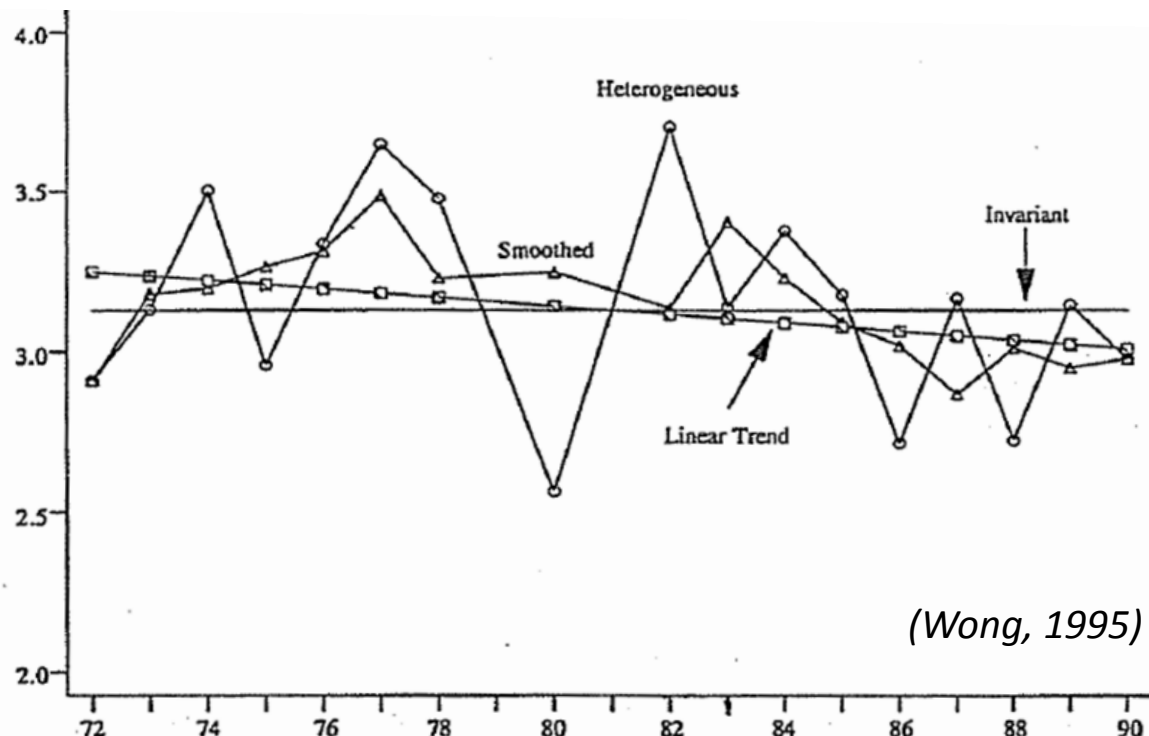
- Convergencia
- Semi-convergencia

2. EXCEPCIONALISMO

- Cultural
- Geográfico
- Institucional

Fluidez social: Cambio temporal

Hypothesis	Hard version	Weak versions
Temporal change	H1. Industrialism/Post-industrialism (Treiman, 1970; Parsons, 1950; Ganzeboom <i>et al.</i> , 1990; Breen, 2004)	H2. Weak Improvement hypothesis
No Temporal Change	H3. Invariance hypothesis (Erikson and Goldthorpe, 1992)	H4. Trendless Fluctuation



Revisión bibliográfica

AUTORES	ENCUESTA	CONCLUSIONES
Rodríguez Menés (1993)	CIS (1988)	-Aumento de la movilidad fruto de la industrialización
Echevarría (1999)	<i>Survey on Class Structure, Class Consciousness and Class Biography</i> (1992)	-Constant Social Fluidity
Carabaña (1999)	<i>Encuesta Socio-demográfica</i> (1992)	- Constant Social Fluidity
Salido (2001)	<i>Survey on Class Structure, Class Consciousness and Class Biography</i> (1992)	-Mujeres: Fluidez
Marqués Perales y Herrera-Usagre (2010)	- <i>Encuesta de Condiciones de Vida</i> (2005)	-Constant Social Fluidity
Martínez-Celorrio y Martín Saldo (2012)	-CIS, <i>Estudio 2634</i> (2006)	-Aumento de la fluidez
Fachelli y López-Roldán (2013 y 2014)	- <i>Encuesta de Condiciones de Vida</i> (2005) - <i>Encuesta de Condiciones de Vida</i> (2011)	Varones: Constant Social Fluidity Mujeres: Fluidez

DATOS

- ENCUESTA DE CONDICIONES DE VIDA-2005 (INE, 2008)
 - ENCUESA DE CONDICIONES DE VIDA-2011 (INE, 2013)
- Módulo. Transmisión intergeneracional de la pobreza**

N <i>(Breadwinner)</i>	Varones	Mujeres	Todos
1941-1945	1,004	1,059	2,063
1946-1950	1,105	1,182	2,287
1951-1955	2,168	2,315	4,483
1956-1960	2,583	2,796	5,379
1961-1965	2,781	2,893	5,674
1966-1970	2,569	2,893	5,462
1971-1975	2,479	2,572	5,051
1976-1980	2,352	2,337	4,689
Total: 1941-1980	17,041	18,047	35,088

Esquema de clase: EGP-6

Original Social Classes (Erikson, Goldthorpe, Portocarero, 1979)		Six Social Classes (Luijkx, 1994)
I	Large proprietors, higher professionals and managers	I+II
II	Lower professionals and managers	
IIIab	Routine non-manual workers	IIIab
IVab	Small proprietors with employees	IVab
V	Lower Grade technicians and Manual Supervisors	V+VI
VI	Skilled Manual Workers	
VIIa	Unskilled manual Workers	VIIa
IVc	Self-employed farmers	
VIIb	Agricultural workers	IVc+VIIb

Metodología: Modelos *log-linear*

MODELOS: COHORTE-ORIGEN-DESTINO (COD)

Independence Model

$$\log F_{ij} = \mu + \lambda_i^O + \lambda_j^D$$

Conditional Independence Model

$$\log F_{ijk} = \mu + \lambda_i^O + \lambda_j^D + \lambda_k^C + \lambda_{ik}^{OC} + \lambda_{jk}^{DC}$$

Constant Social Fluidity

$$\log F_{ijk} = \mu + \lambda_i^O + \lambda_j^D + \lambda_k^C + \lambda_{ik}^{OC} + \lambda_{jk}^{DC} + \lambda_{ij}^{OD}$$

Unidiff

$$\log F_{ijk} = \mu + \lambda_i^O + \lambda_j^D + \lambda_k^C + \lambda_{ik}^{OC} + \lambda_{jk}^{DC} + \beta_k X_{ij}$$

Unidiff with Linear Trend Model

$$\log F_{ijk} = \mu + \lambda_i^O + \lambda_j^D + \lambda_k^C + \lambda_{ik}^{OC} + \lambda_{jk}^{DC} + \beta_k X_{ij} + \beta_k$$

Metodología: Medidas de Ajuste

log likelihood ratio χ^2 (G^2)

$$L^2 = 2 \sum_{i=1}^I \sum_{j=1}^J n_{ij} \cdot \log \left(\frac{n_{ij}}{n_{ij}^e} \right)$$

Diferencia G^2

$$\left. \begin{array}{l} L_1^2 - L_2^2 \\ gl_1 - gl_2 \end{array} \right\} \text{p-value } (\chi^2)$$

Bayesian Information Criteria (BIC)

$$BIC = L^2 - gl \cdot \log(n)$$

Índice de disimilitud

$$D = \sum_{i=1}^I \sum_{j=1}^J \frac{|n_{ij} - n_{ij}^e|}{2n}$$

Pseudo R^2 de Goodman

$$PseudoR^2 = 1 - \frac{L_M^2}{L_0^2}$$

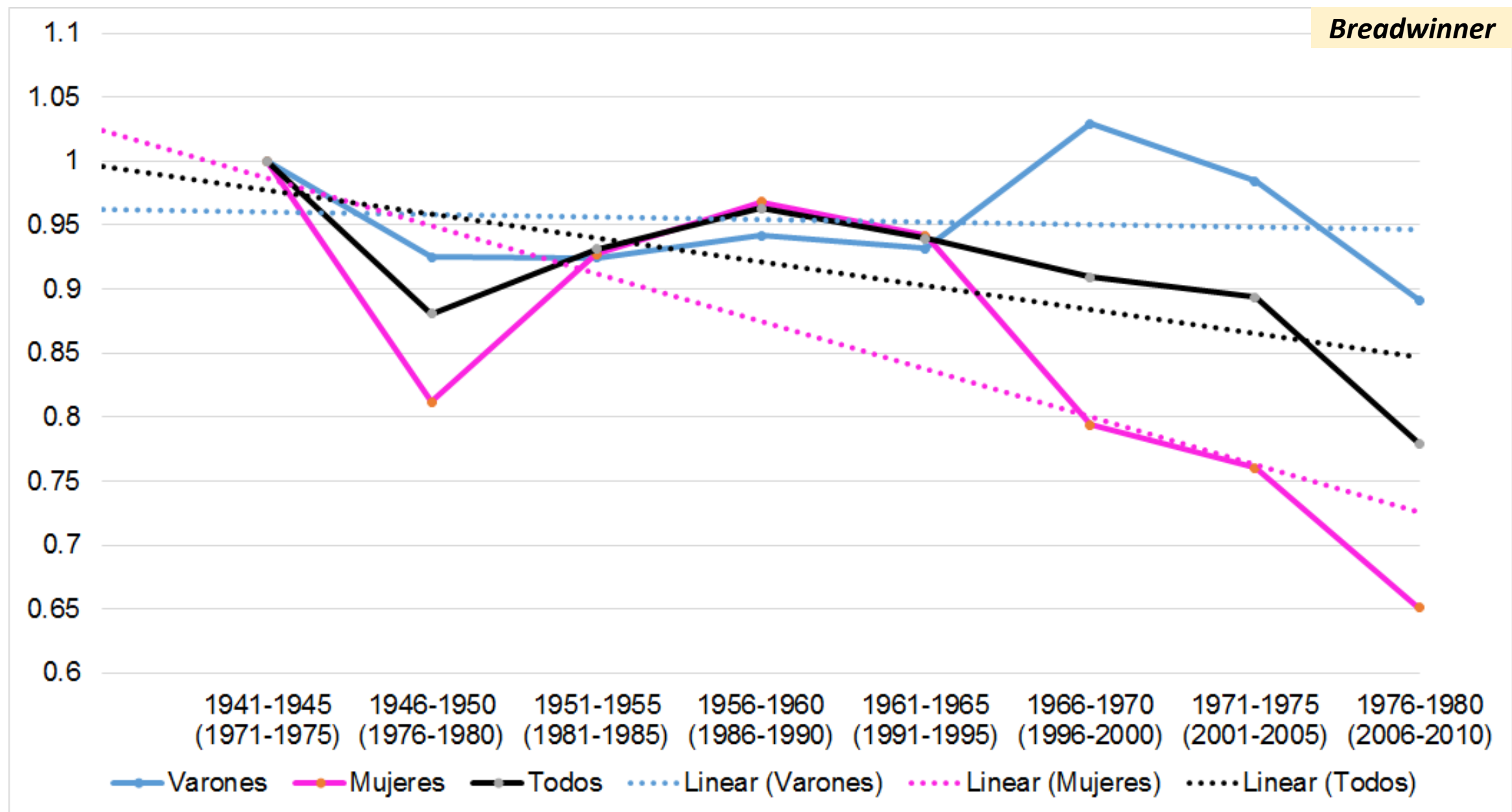
MOVILIDAD RELATIVA: *Breadwinner*

Modelos	L ²	Grados de libertad	Sig.	n	BIC	Pseudo R ²	Índice de disimilitud	L ² (Schwartz)	Sig. L ² (S)	L2 dif. Sig.
VARONES										
Orígen, Destino y Cohorte										
Independencia condicional [O C] [D C]	3405.7	200	0.000	14793	1485.34	0.0	17.57%	417.6	0.000	
Fluidez Constante [O D] [O C] [D C]	220.8	175	0.011	14793	-1459.44	93.5%	4.22%	178.1	0.420	
Unidiff	215.2	168	0.008	14793	-1397.93	93.7%	4.18%	171.2	0.417	0.586
Unidiff con restricción lineal	220.9	174	0.009	14793	-1449.84	93.5%	4.22%	177.2	0.419	0.759
MUJERES										
Orígen, Destino y Cohorte										
Independencia condicional [O C] [D C]	2110.6	200	0.000	13842	203.54	0.0	13.92%	346.2	0.000	
Fluidez Constante [O D] [O C] [D C]	216.2	175	0.039	13842	-1452.46	89.8%	3.99%	178.2	0.420	
Unidiff	191.0	168	0.011	13842	-1410.94	91.0%	3.62%	169.8	0.447	0.001
Unidiff con restricción lineal	201.8	174	0.073	13842	-1457.40	90.4%	3.81%	176.1	0.441	0.000
HOMBRES + MUJERES										
Orígen, Destino y Cohorte										
Independencia condicional [O C] [D C]	5178.8	200	0.000	28635	3126.41	0.0	15.44%	558.7	0.000	
Fluidez Constante [O D] [O C] [D C]	208.0	175	0.044	28635	-1587.90	96.0%	2.93%	177.4	0.436	
Unidiff	191.2	168	0.106	28635	-1532.86	96.3%	2.86%	169.7	0.449	0.019
Unidiff con restricción lineal	200.0	174	0.086	28635	-1585.67	96.1%	2.90%	175.9	0.446	0.005

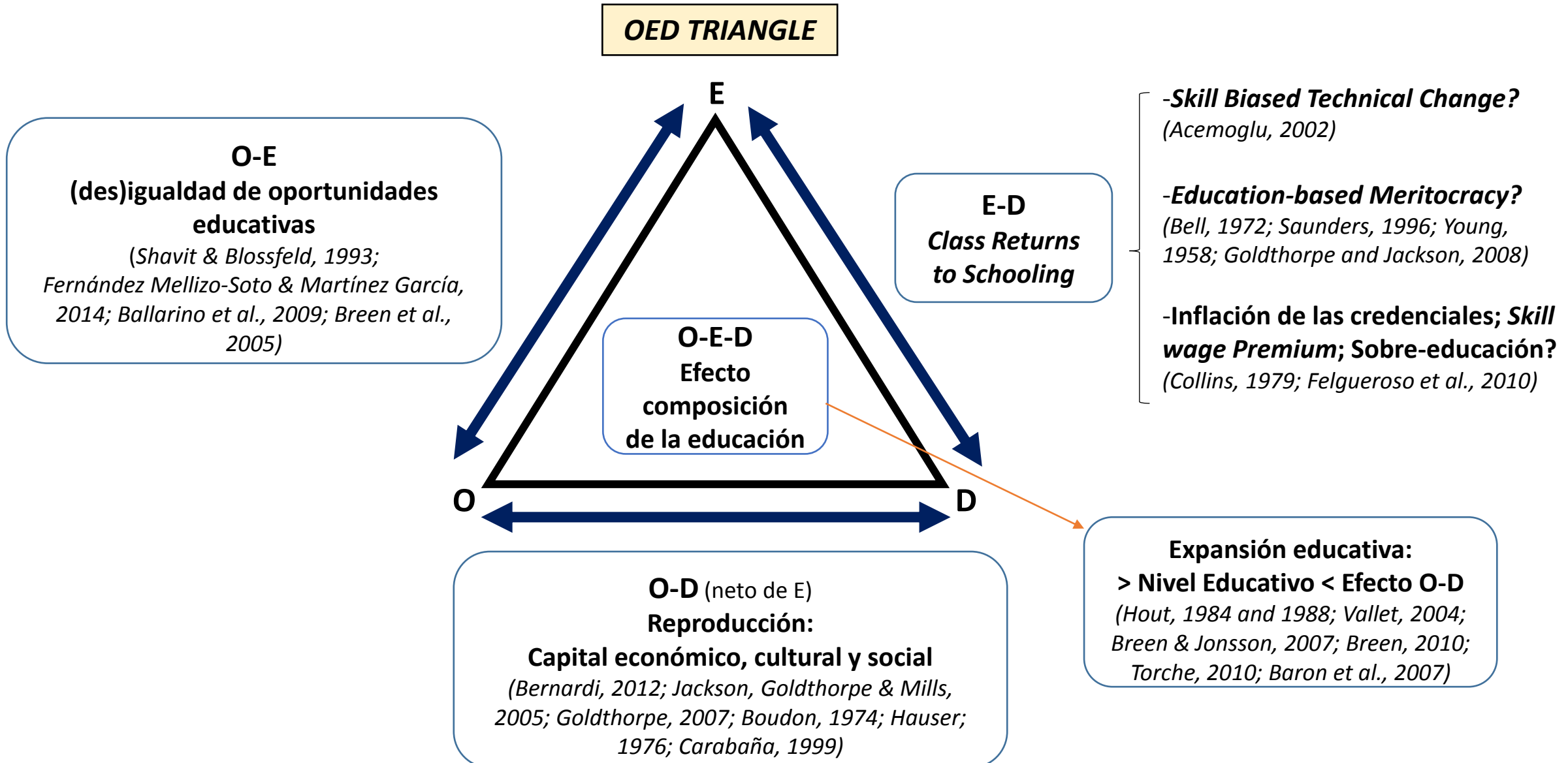
MOVILIDAD RELATIVA: Dominancia

Modelos	L ²	Grados de libertad	Sig.	n	BIC	Pseudo R ²	Índice de disimilitud	L ² (Schwartz)	Sig. L ² (S)	L2 dif. Sig.
VARONES										
Orígen, Destino y Cohorte										
Independencia condicional [O C] [D C]	3373.8	200	0.000	15223	1447.68	0.0	17.3%	391.2	0.000	
Fluidez Constante [O D] [O C] [D C]	200.2	175	0.093	15223	-1485.14	94.1%	4.0%	176.5	0.454	
Unidiff	194.8	168	0.077	15223	-1423.12	94.2%	4.0%	169.6	0.451	0.612
Unidiff con restricción lineal	200.0	174	0.086	15223	-1475.71	94.1%	4.0%	175.6	0.452	0.660
MUJERES										
Orígen, Destino y Cohorte										
Independencia condicional [O C] [D C]	2316.2	200	0.000	14311	402.48	0.0	14.5%	295.4	0.000	
Fluidez Constante [O D] [O C] [D C]	214.8	175	0.022	14311	-1459.75	90.7%	4.1%	176.8	0.448	
Unidiff	194.8	168	0.077	14311	-1412.76	91.6%	3.8%	169.2	0.459	0.006
Unidiff con restricción lineal	205.7	174	0.085	14311	-1459.29	91.1%	4.0%	175.4	0.455	0.003
HOMBRES + MUJERES										
Orígen, Destino y Cohorte										
Independencia condicional [O C] [D C]	5714.8	200	0.000	29534	3356.19	0.0	15.7%	491.7	0.000	
Fluidez Constante [O D] [O C] [D C]	219.8	175	0.012	29534	-1581.53	96.2%	3.1%	177.4	0.436	
Unidiff	205.7	168	0.026	29534	-1524.57	96.4%	3.0%	170.0	0.442	0.050
Unidiff con restricción lineal	212.5	174	0.025	29534	-1578.55	96.3%	3.1%	176.0	0.443	0.007

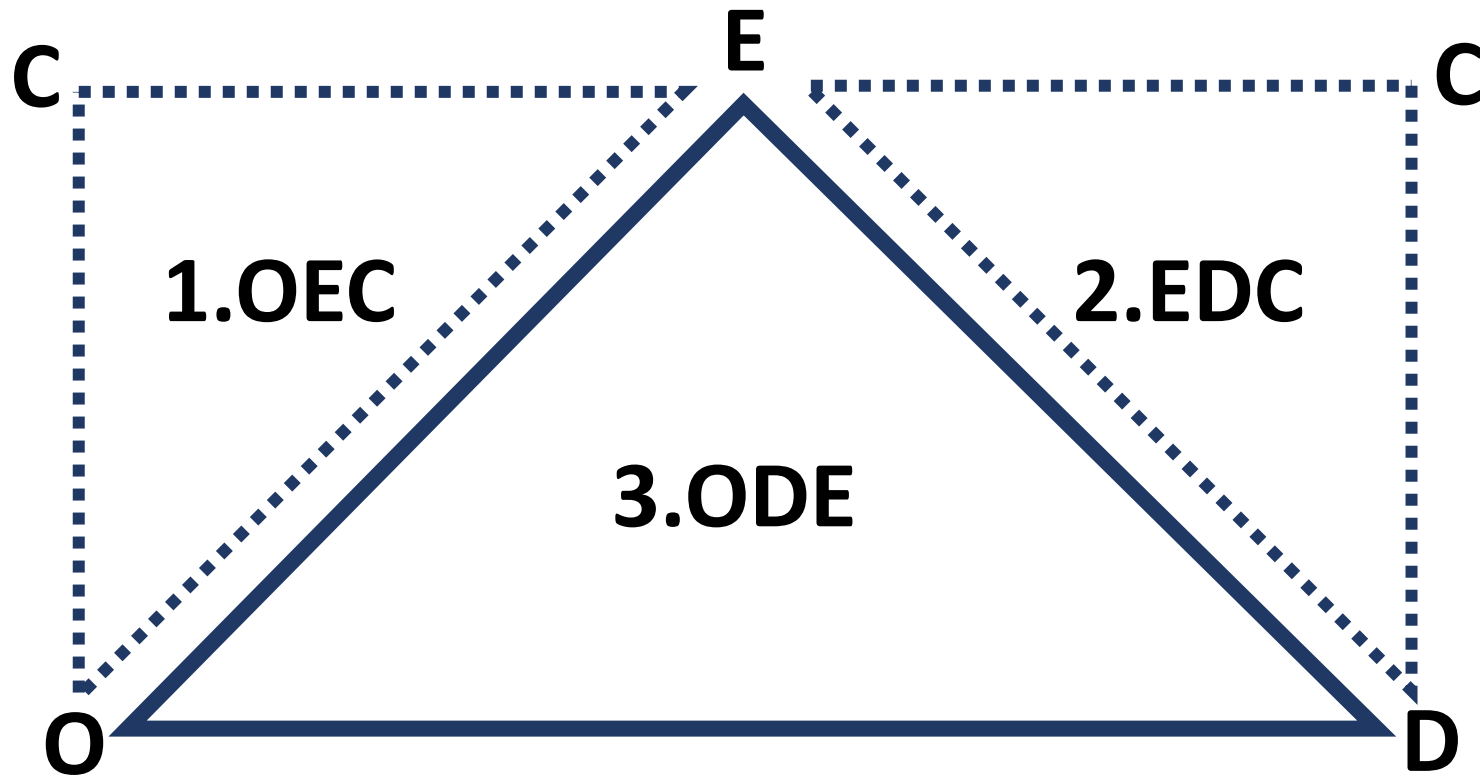
Breadwinner



¿Cómo puede la educación influir en la movilidad social?: Reproducción y Movilidad Social (Hout & Diprete, 2006)



Modelos de tres vías



Niveles educativos

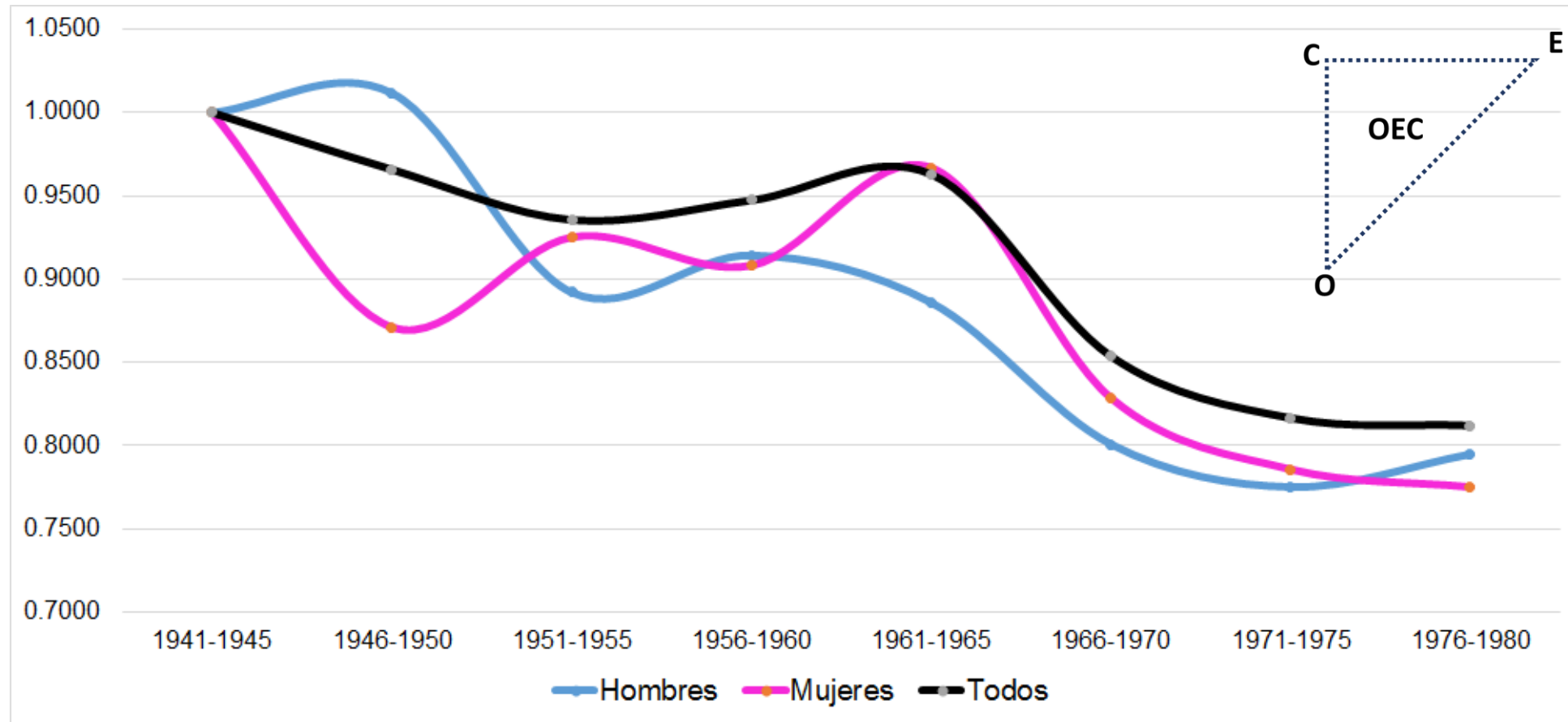
CNED

1. Educación primaria
2. Educación secundaria de 1^a etapa (incluye formación e inserción laboral equivalente)
3. Educación secundaria de 2^a etapa (incluye formación e inserción laboral equivalente)
4. Formación e inserción laboral que precisa título de segunda etapa de secundaria
5. Educación superior

1. Igualación Educativa: *Educational Equalization*

(Origen, Educación, Cohorte)

$$\log F_{ijk} = \mu + \lambda_i^C + \lambda_j^O + \lambda_k^E + \lambda_{jk}^{CE} + \lambda_{ji}^{CO} + \beta_i X_{jk}^{OE}$$



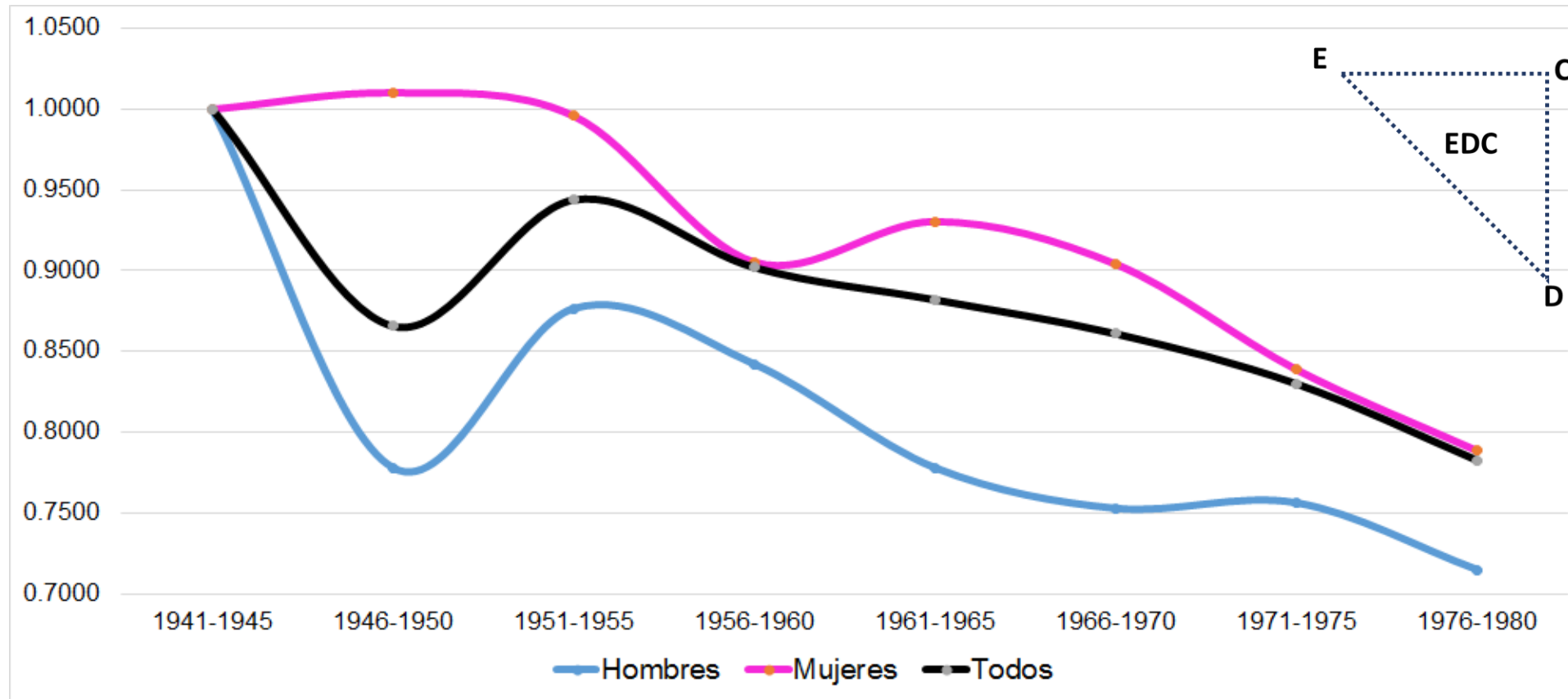
♂
♀
♂♀

L ²	Grados de libertad	Sig.	n	BIC	Pseudo-R ²	Δ	L ² (S)	Sig. L ² (S)	L ² dif. Sig.
101.873	98	0.013	14944	-810.177	95.4%	3.27%	98.2	0.475	0.000
124.265	98	0.038	15764	-822.953	94.5%	2.92%	99.4	0.441	0.134
157.436	98	0.000	30708	-854.691	96.3%	2.56%	101.3	0.389	0.015

2. Contrapartidas de la Educación: *Class Returns to Schooling*

(Educación, Destino, Cohorte)

$$\log F_{ijk} = \mu + \lambda_i^C + \lambda_j^E + \lambda_k^D + \lambda_{ij}^{CE} + \lambda_{ik}^{CD} + \beta_i X_{jk}^{ED}$$



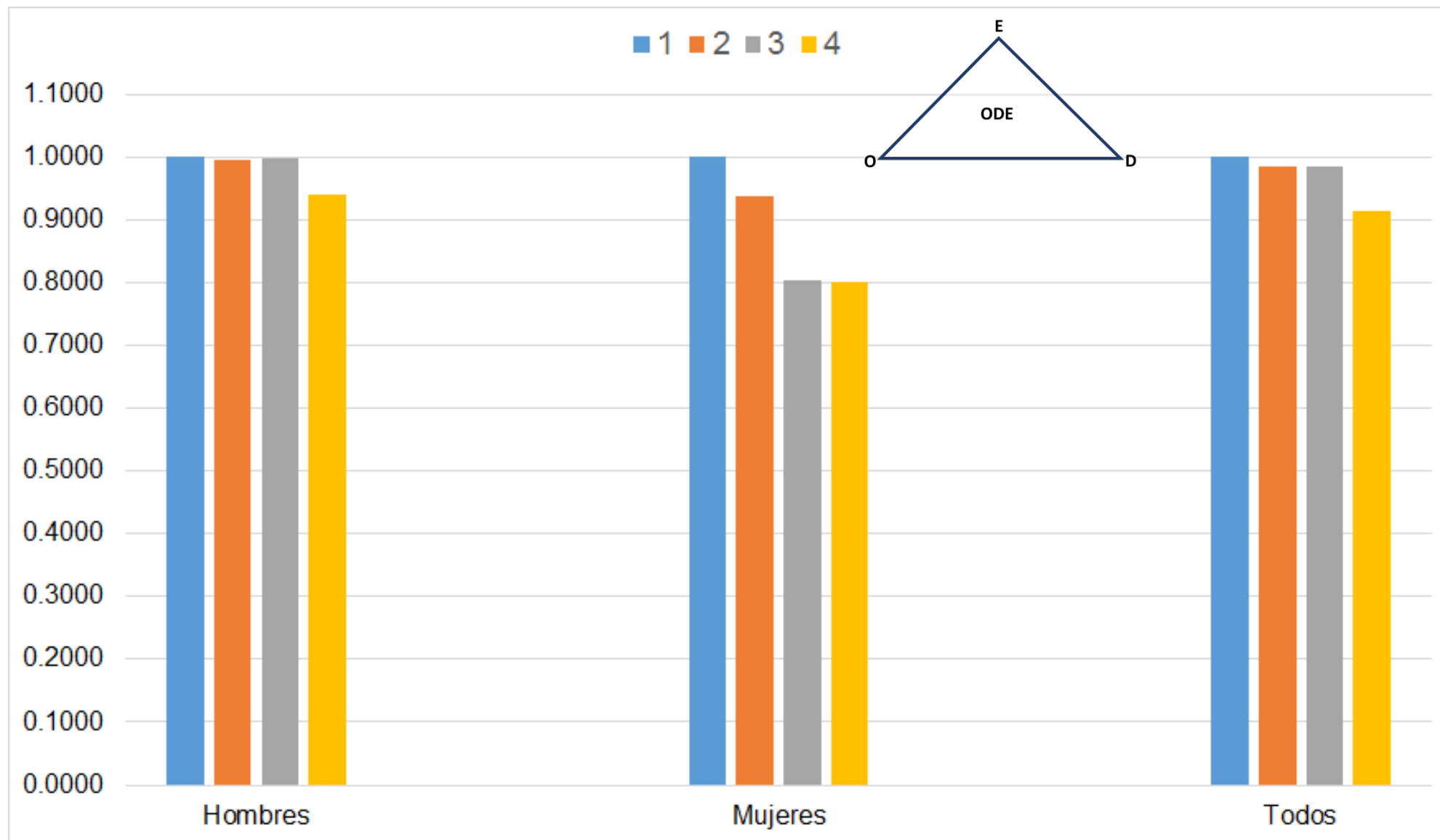
♂ ♀ ♂ ♀

L^2	Grados de libertad	Sig.	n	BIC	Pseudo- R^2	Δ	$L^2(S)$	Sig. $L^2(S)$	L^2 dif. Sig.
146.902	98	0.001	16043	-801.035	97.2%	3.32%	100.8	0.402	0.000
126.002	98	0.030	15063	-816.757	98.2%	2.77%	99.2	0.448	0.003
182.655	98	0.000	31106	-831.171	98.5%	2.50%	102.2	0.365	0.000

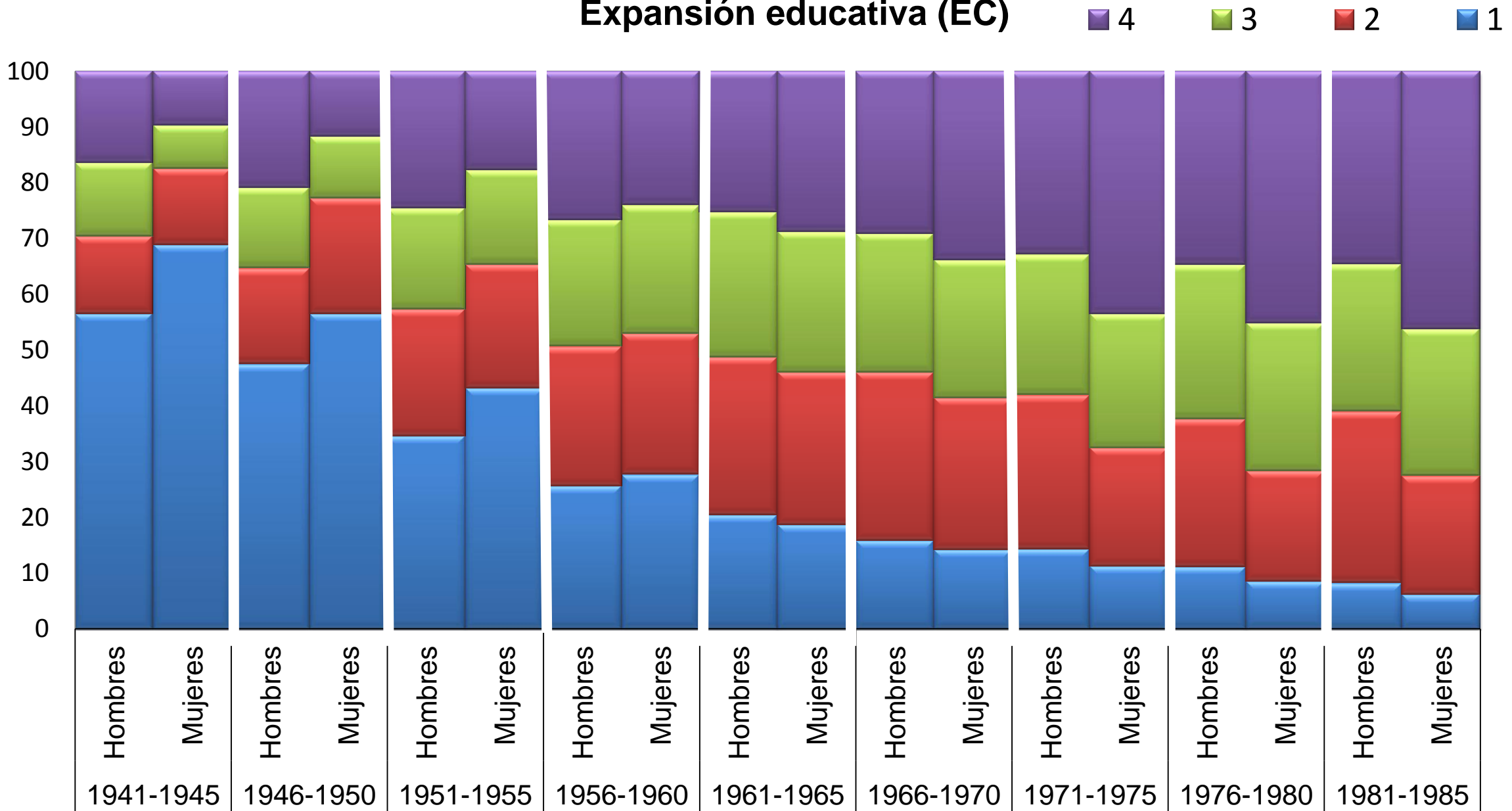
3. Efecto Composicional de la Educación: *Compositional Effect*

(Origen, Destino, Educación)

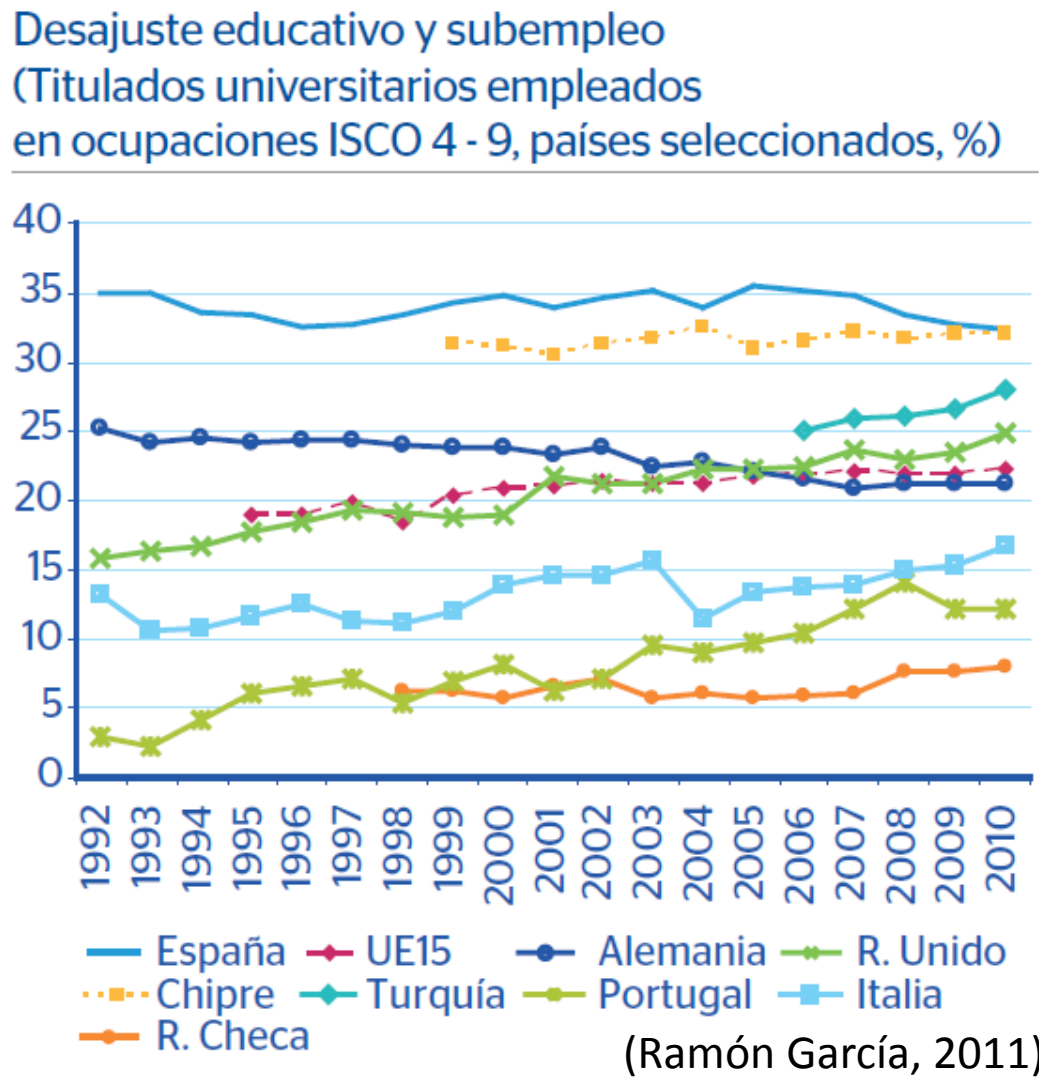
$$\log F_{ijk} = \mu + \lambda_i^O + \lambda_j^E + \lambda_k^D + \lambda_{ij}^{OE} + \lambda_{jk}^{ED} + \beta_j X_{ik}^{OD}$$



Expansión educativa (EC)

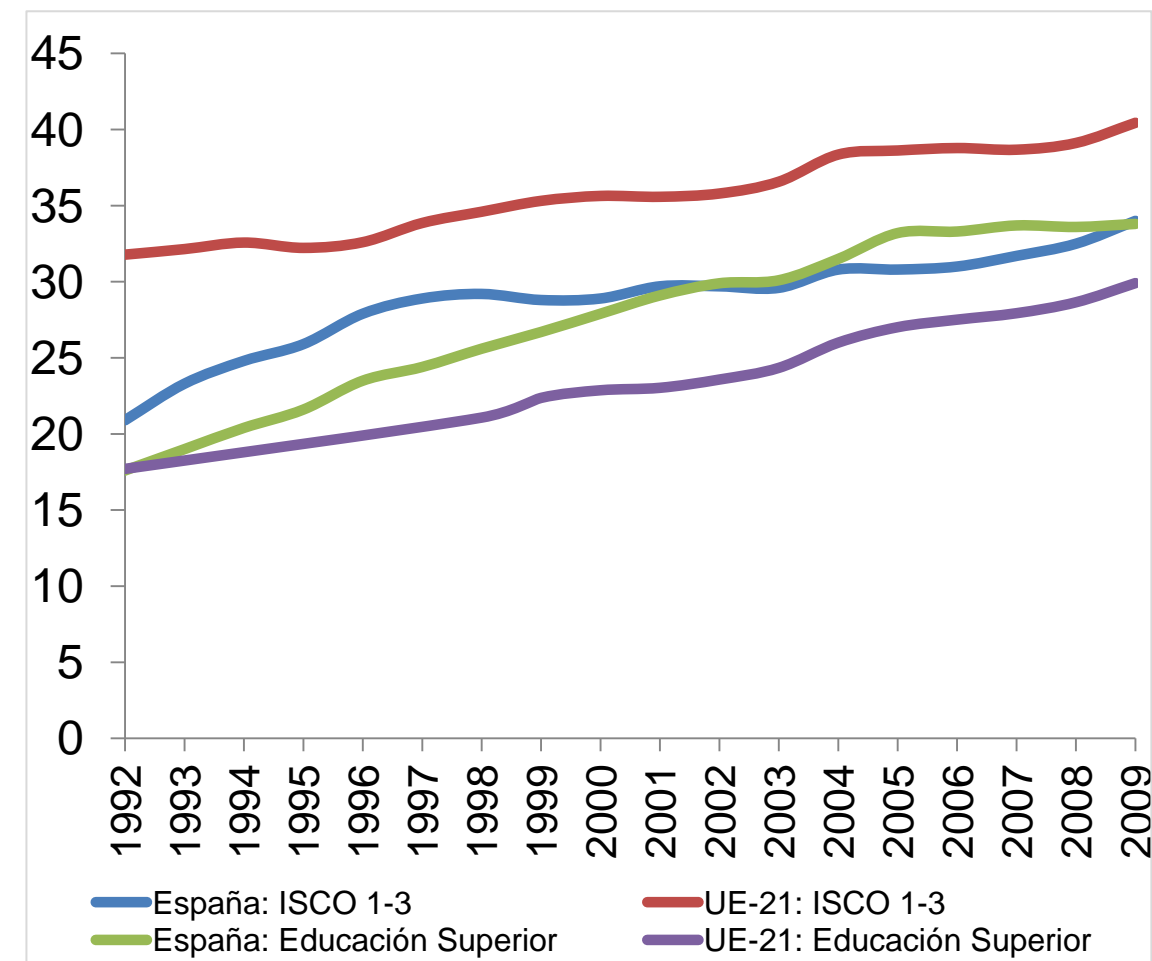


DESAJUSTE (ED): MERCADO DE TRABAJO Y NIVEL EDUCATIVO SUPERIOR



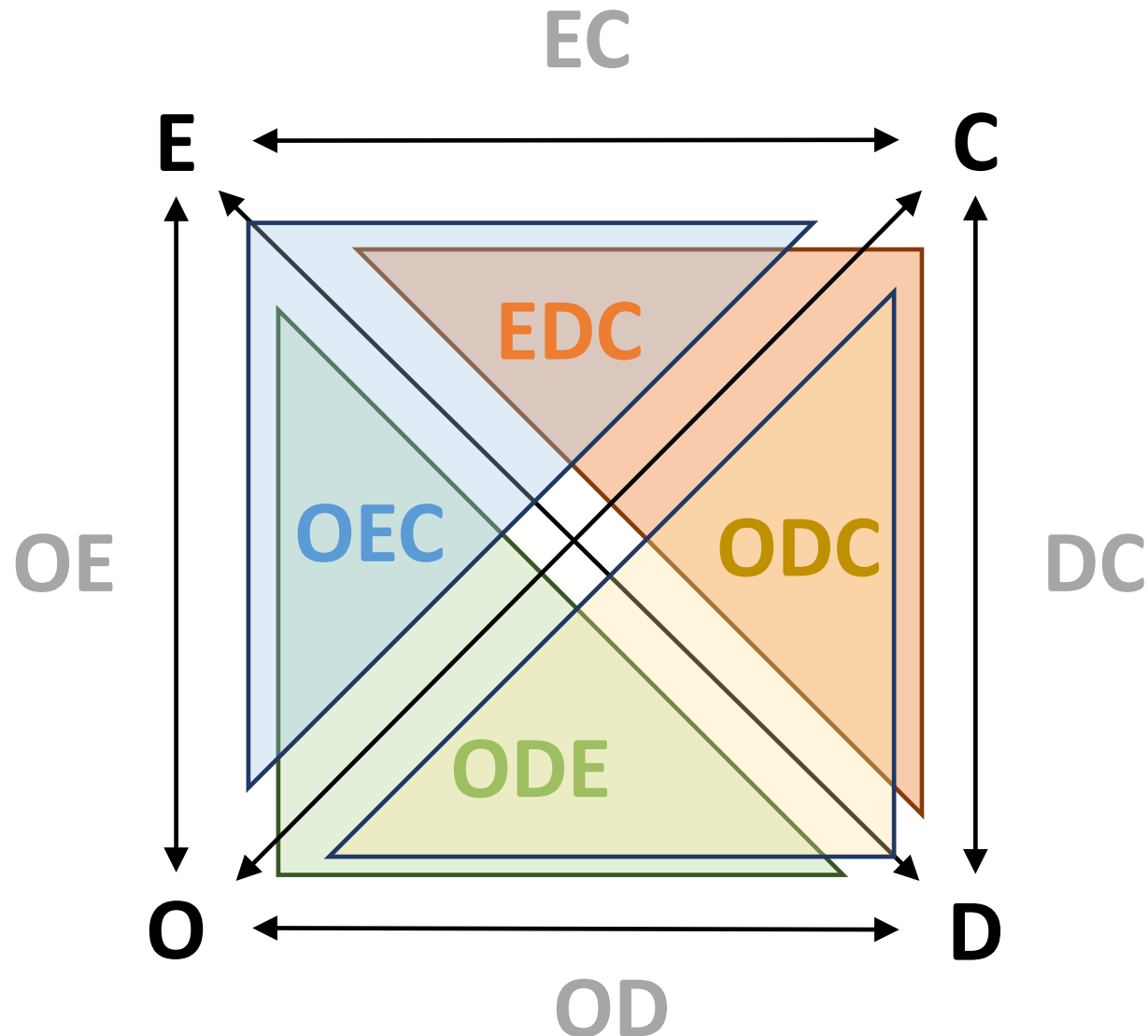
Fuente: BBVA Research a partir de Eurostat

Porcentaje de la fuerza de trabajo (>16 años)



(Marqués Perales y Gil Hernández, 2014*)

Modelos de cuatro vías:



MODELOS	<i>(Breen, 2010; Torche; 2010; Vallet, 2004)</i>
1.	OD CONSTANTE + OE-C UNIDIFF + ED-C UNIDIFF
2.	OE CONSTANTE + OD-E UNIDIFF + ED-C UNIDIFF
3.	OE CONSTANTE + OD-C UNIDIFF + ED-C UNIDIFF
4.	ED CONSTANTE + OD-C UNIDIFF + OE-C UNIDIFF

1941-1945	1946-1950	1951-1955	1956-1960	1961-1965	1966-1970	1971-1975	1976-1980	1981-1985
1941-1955			1956-1970			1971-1985		

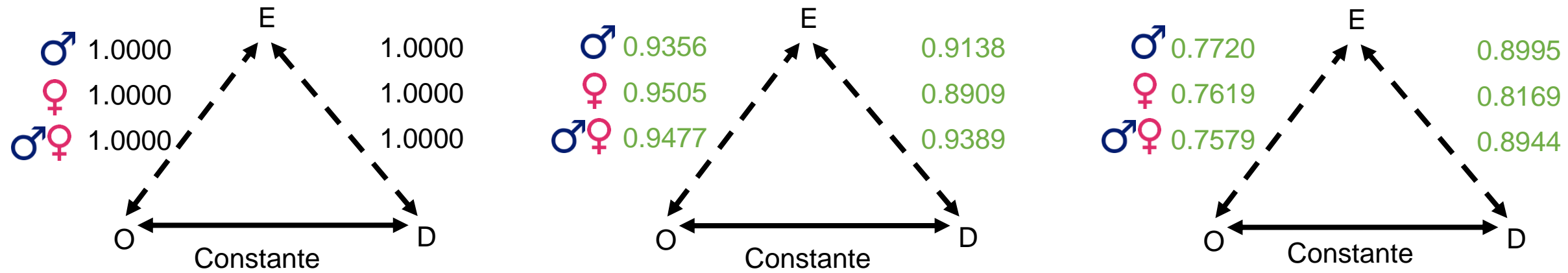
1. DOBLE UNIDIFF ADITIVO: O-D CONSTANTE / 1. OE-C + 2. ED-C

$$\log F_{ijkl} = \mu + \lambda_i^O + \lambda_j^D + \lambda_k^C + \lambda_l^E + \lambda_{ki}^{CO} + \lambda_{kj}^{CD} + \lambda_{kl}^{CE} + \lambda_{ij}^{OD} + \beta_k X_{il}^{OE-C} + \beta_k X_{lj}^{ED-C}$$

Cohortes: 1941-1955 (1971-1985)

1956-1970 (1986-2000)

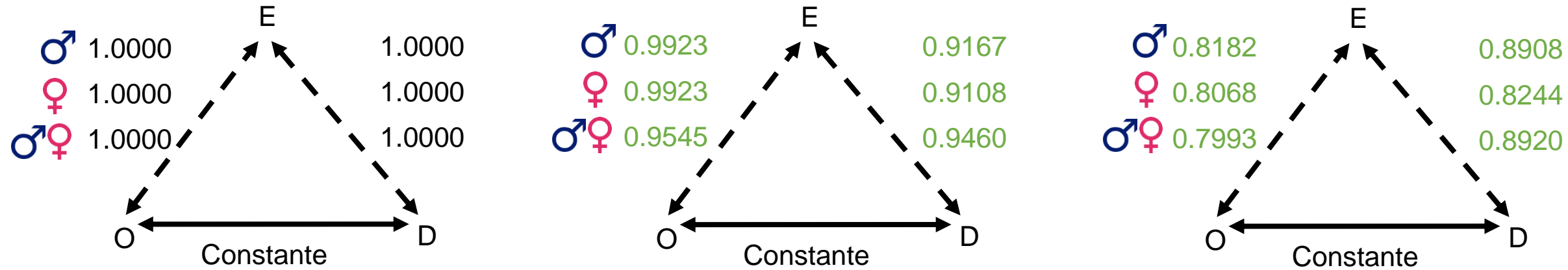
1971-1985 (2001-2015*)



	L ²	gl	Sig.	n	BIC	Pseudo-R ²	Δ	L ² (S)	Sig. L ² (S)	L ² dif. Sig.
♂	404.839	331	0.003	15259	-2783.659	95.7%	5.10%	347.6	0.253	0.001
♀	384.106	331	0.023	14292	-2782.728	96.0%	4.98%	341.8	0.329	0.003
♂♀	421.176	331	0.001	29551	-2986.097	97.7%	3.87%	350.4	0.221	0.000

1. DOBLE UNIDIFF ADITIVO: O-D CONSTANTE / 1. OE-C + 2. ED-C

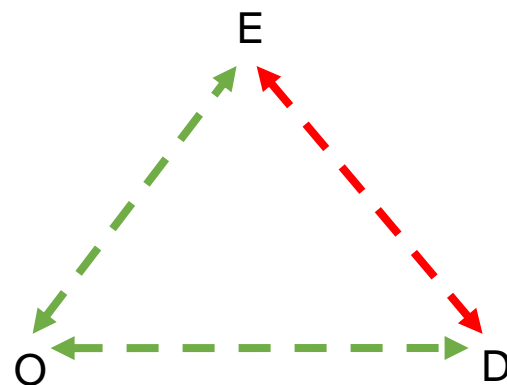
$$\log F_{ijkl} = \mu + \lambda_i^O + \lambda_j^D + \lambda_k^C + \lambda_l^E + \lambda_{ki}^{CO} + \lambda_{kj}^{CD} + \lambda_{kl}^{CE} + \lambda_{ij}^{OD} + \beta_k X_{il}^{OE-C} + \beta_k X_{lj}^{ED-C}$$

Cohortes: 1941-1955 (1971-1985)**1956-1970 (1986-2000)****1971-1985 (2001-2015*)**

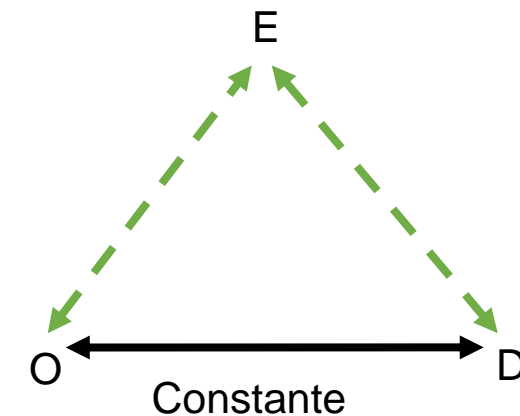
	L ²	gl	Sig.	n	BIC	Pseudo-R ²	Δ	L ² (S)	Sig. L ² (S)	L ² dif. Sig.
♂	409.550	331	0.002	15723	-2788.872	95.7%	5.16%	349.8	0.229	0.014
♀	388.033	331	0.017	14793	-2790.206	96.2%	5.02%	342.8	0.316	0.000
♂♀	448.443	331	0.000	30514	-2969.446	97.6%	4.02%	357.3	0.154	0.000

Conclusión teórica del Modelo 1

Teoría de la
modernización



Resultados



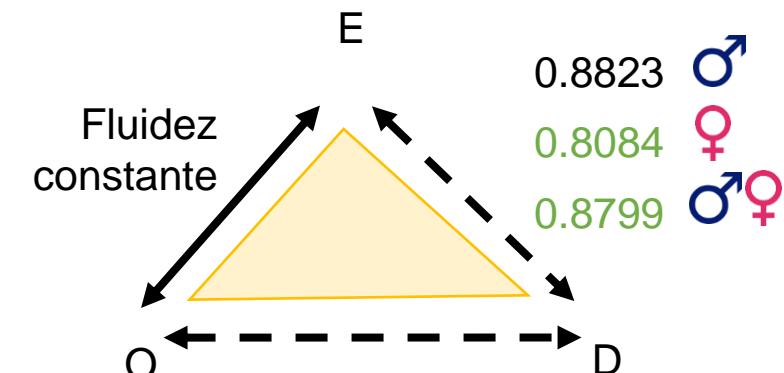
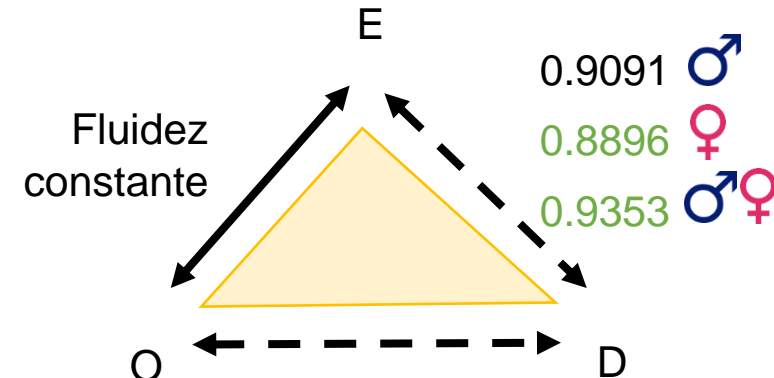
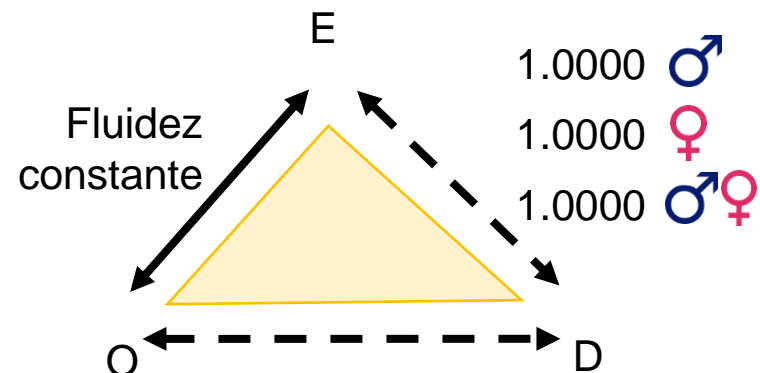
2. DOBLE UNIDIFF ADITIVO: O-E CONSTANTE / 1. ED-C + 2. OD-E

$$\log F_{ijkl} = \mu + \lambda_i^O + \lambda_j^D + \lambda_k^C + \lambda_l^E + \lambda_{ki}^{CO} + \lambda_{kj}^{CD} + \lambda_{kl}^{CE} + \lambda_{il}^{OE} + \beta_k X_{lj}^{ED-C} + \beta_l X_{ij}^{OD-E}$$

Cohortes: 1941-1955 (1971-1985)

1956-1970 (1986-2000)

1971-1985 (2001-2015*)

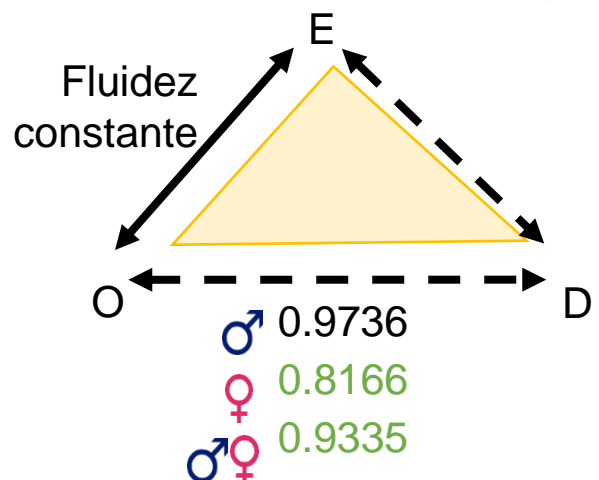
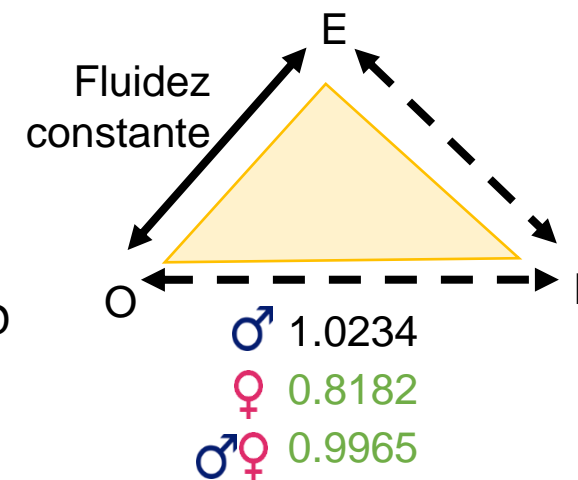
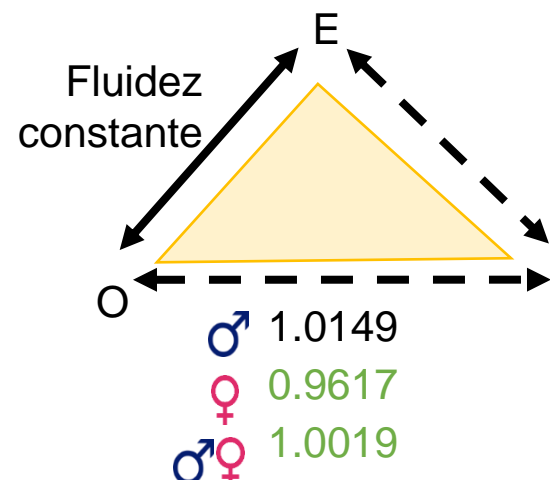
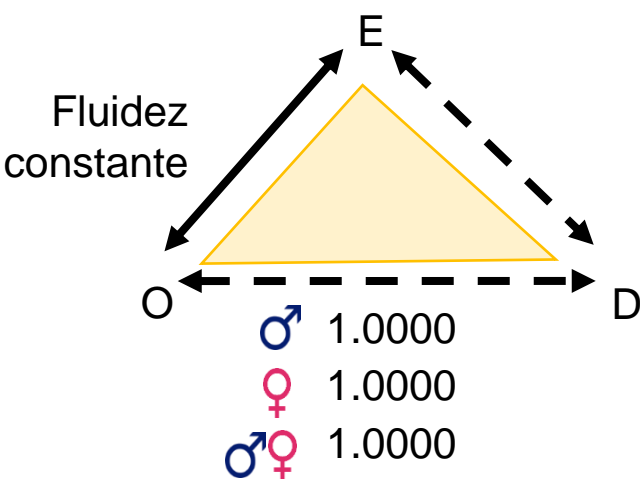


Educación: Primaria

Secundaria 1^a etapa

Secundaria 2^a etapa

Superior



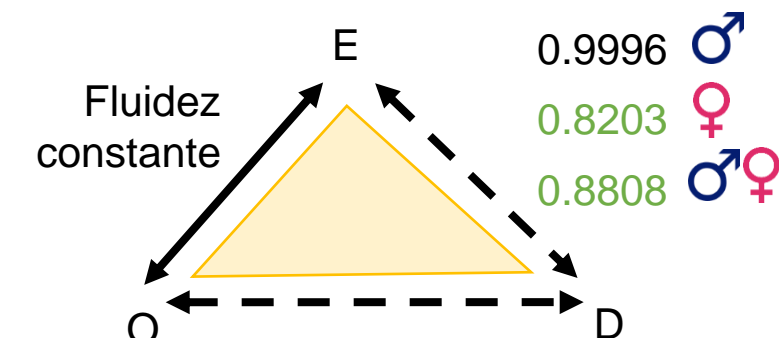
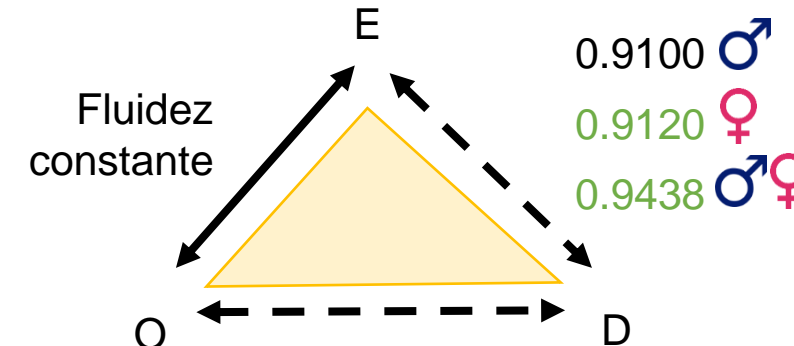
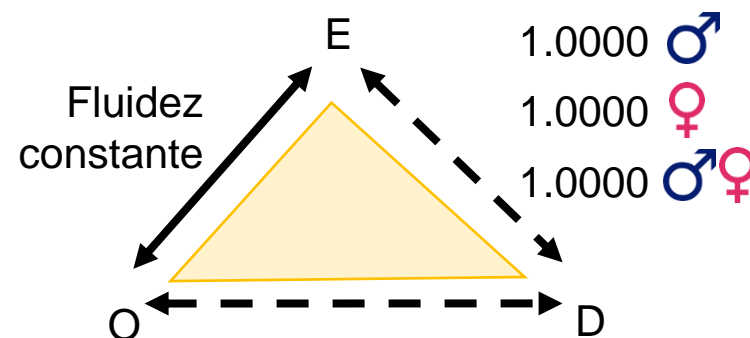
2. DOBLE UNIDIFF ADITIVO: O-E CONSTANTE / 1. ED-C + 2. OD-E

$$\log F_{ijkl} = \mu + \lambda_i^O + \lambda_j^D + \lambda_k^C + \lambda_l^E + \lambda_{ki}^{CO} + \lambda_{kj}^{CD} + \lambda_{kl}^{CE} + \lambda_{il}^{OE} + \beta_k X_{lj}^{ED-C} + \beta_l X_{ij}^{OD-E}$$

Cohortes: 1941-1955 (1971-1985)

1956-1970 (1986-2000)

1971-1985 (2001-2015*)

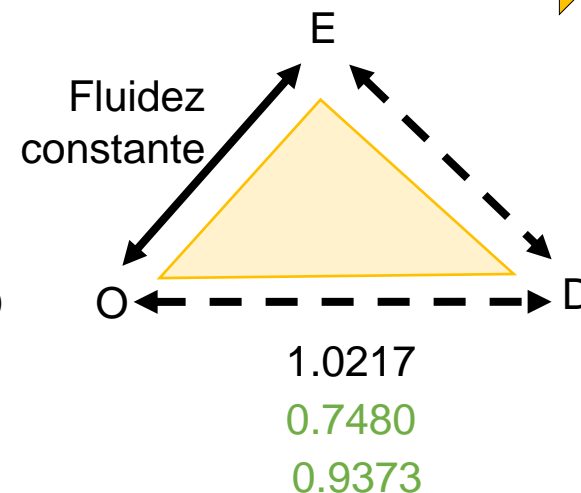
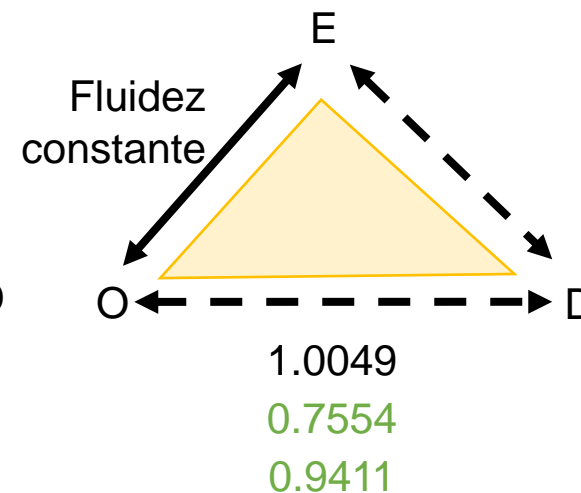
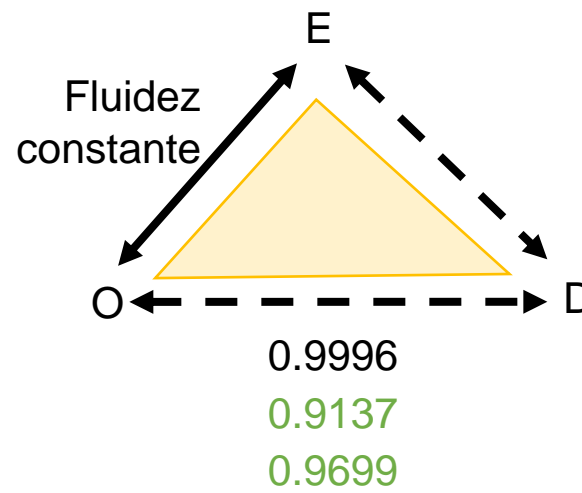
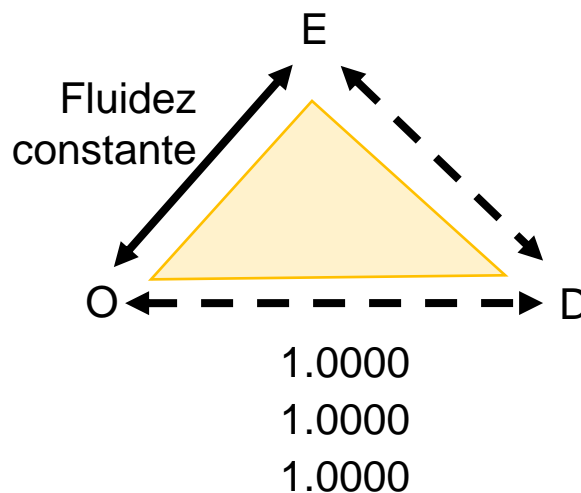


Educación: Primaria

Secundaria 1^a etapa

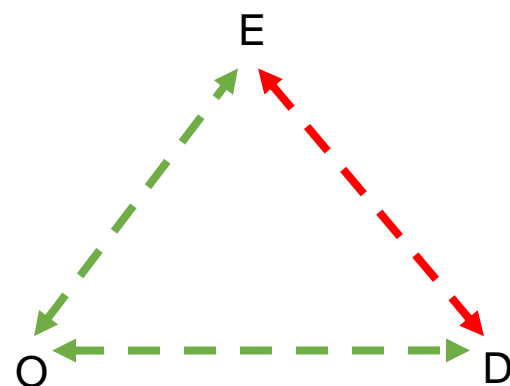
Secundaria 2^a etapa

Superior

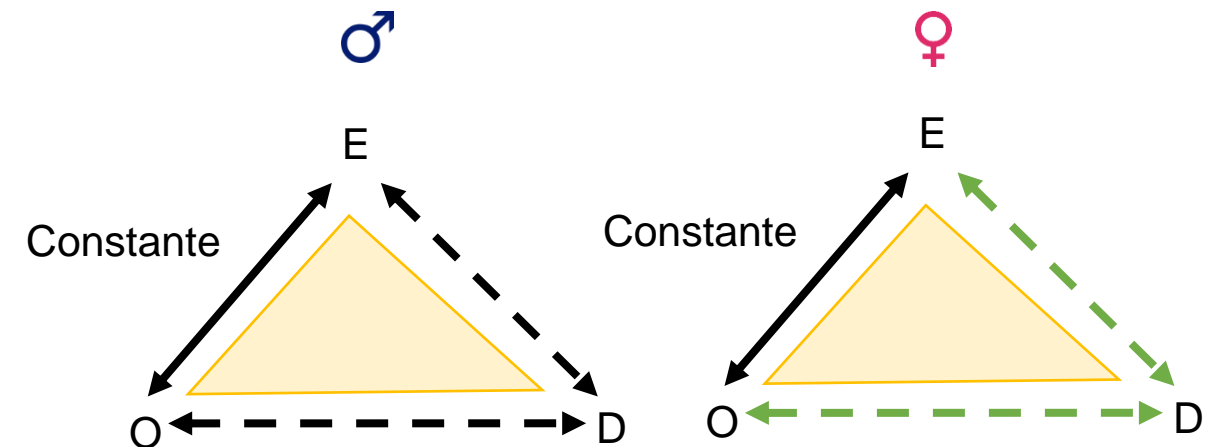


Conclusión teórica del Modelo 2

Teoría de la modernización



Resultados



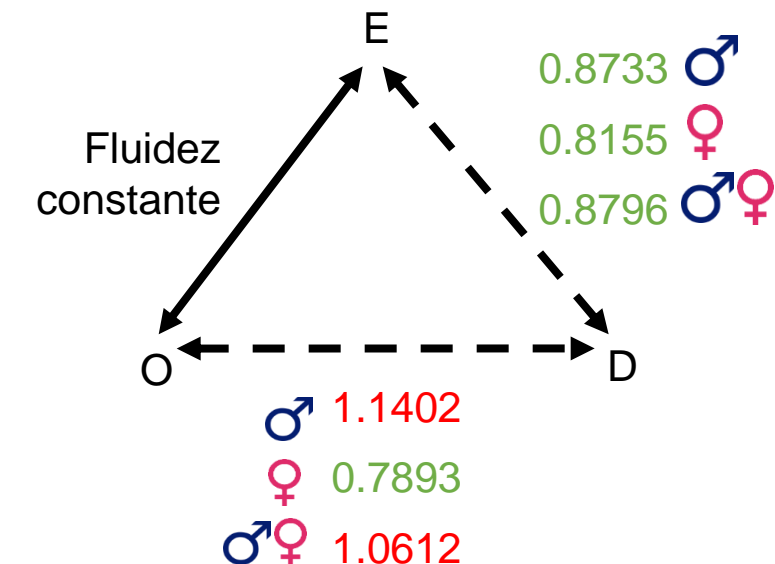
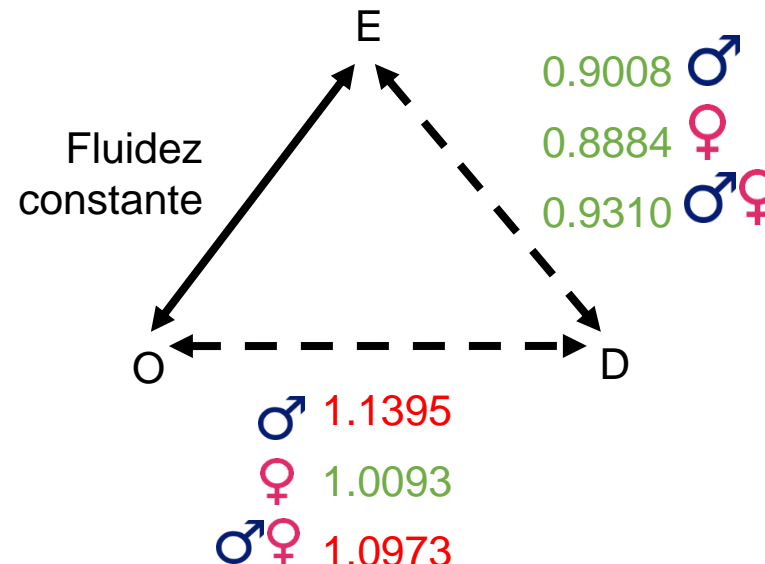
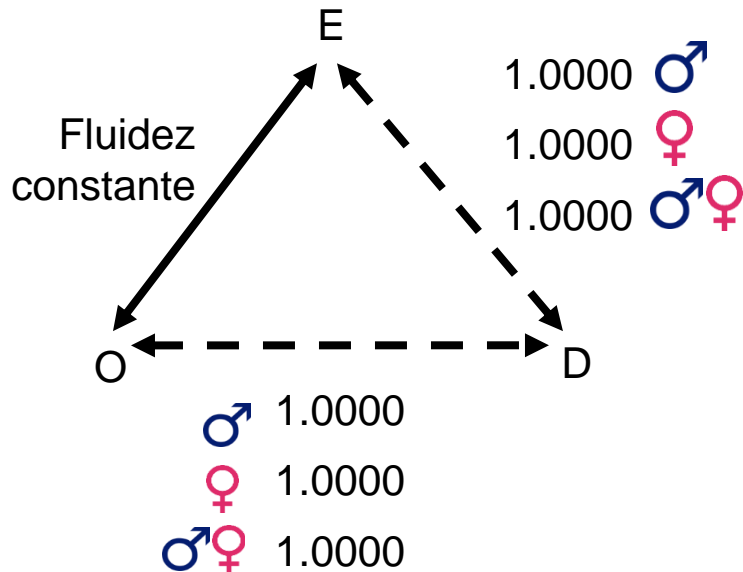
3. DOBLE UNIDIFF ADITIVO: O-E CONSTANTE / 1. ED-C + 2. OD-C

$$\log F_{ijkl} = \mu + \lambda_i^O + \lambda_j^D + \lambda_k^C + \lambda_l^E + \lambda_{ki}^{CO} + \lambda_{kj}^{CD} + \lambda_{kl}^{CE} + \lambda_{il}^{OE} + \beta_k X_{lj}^{ED-C} + \beta_K X_{ij}^{OD-C}$$

Cohortes: 1941-1955 (1971-1985)

1956-1970 (1986-2000)

1971-1985 (2001-2015*)



	L ²	gl	Sig.	n	BIC	Pseudo-R ²	Δ	L ² (S)	Sig. L ² (S)	L ² dif. Sig.
♂	408.049	331	0.002	15259	-2780.449	95.7%	5.23%	348.4	0.245	0.018
♀	385.497	331	0.020	14292	-2781.336	96.0%	5.02%	342.2	0.325	0.002
♂♀	436.127	331	0.000	29551	-2971.145	97.6%	3.93%	353.7	0.187	0.002

3. DOBLE UNIDIFF ADITIVO: O-E CONSTANTE / 1. ED-C + 2. OD-C

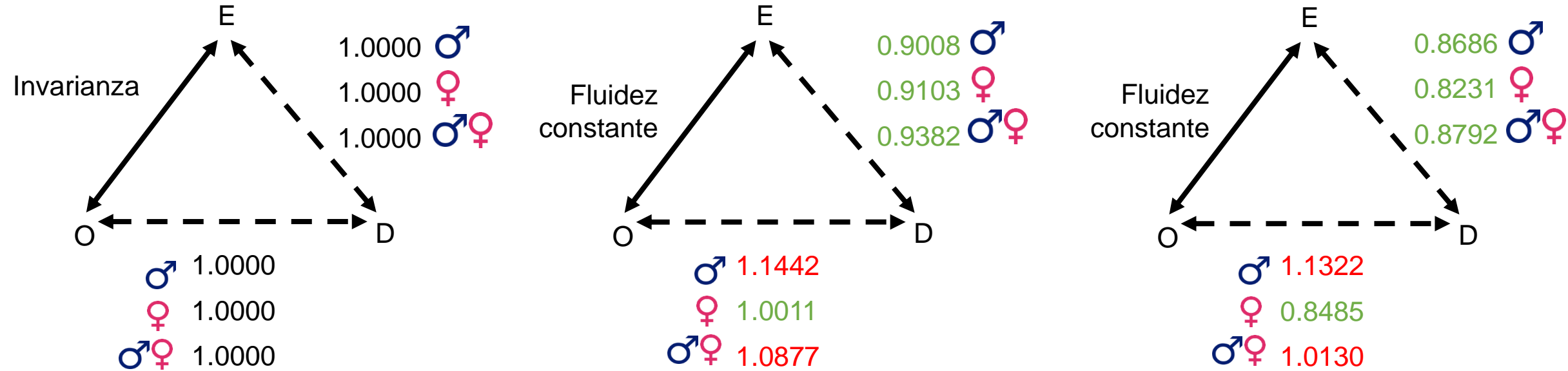
Dominancia

$$\log F_{ijkl} = \mu + \lambda_i^O + \lambda_j^D + \lambda_k^C + \lambda_l^E + \lambda_{ki}^{CO} + \lambda_{kj}^{CD} + \lambda_{kl}^{CE} + \lambda_{il}^{OE} + \beta_k X_{lj}^{ED-C} + \beta_K X_{ij}^{OD-C}$$

Cohortes: 1941-1955 (1971-1985)

1956-1970 (1986-2000)

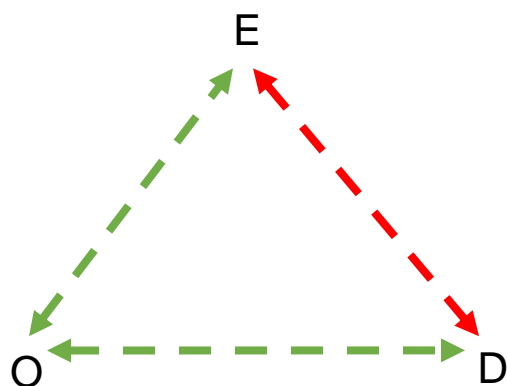
1971-1985 (2001-2015*)



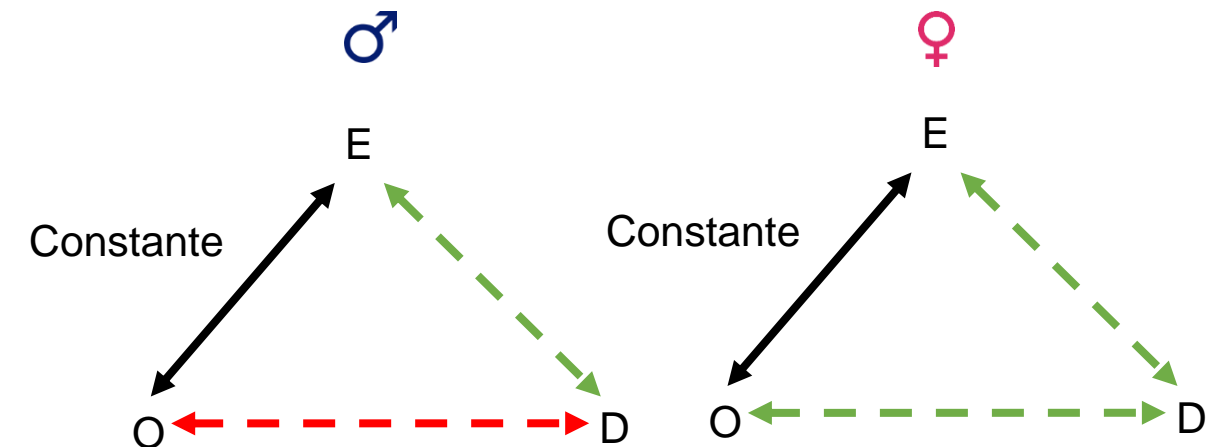
	L ²	gl	Sig.	n	BIC	Pseudo-R ²	Δ	L ² (S)	Sig. L ² (S)	L ² dif. Sig.
♂	409.633	331	0.002	15723	-2788.789	95.7%	5.25%	349.8	0.228	0.014
♀	391.237	331	0.013	14793	-2787.002	96.1%	4.99%	343.4	0.307	0.000
♂♀	457.932	331	0.000	30514	-2959.957	97.6%	4.05%	359.4	0.136	0.001

Conclusión teórica del Modelo 3

Teoría de la modernización



Resultados



4. DOBLE UNIDIFF ADITIVO: E-D CONSTANTE / 1. OE-C + 2. OD-C

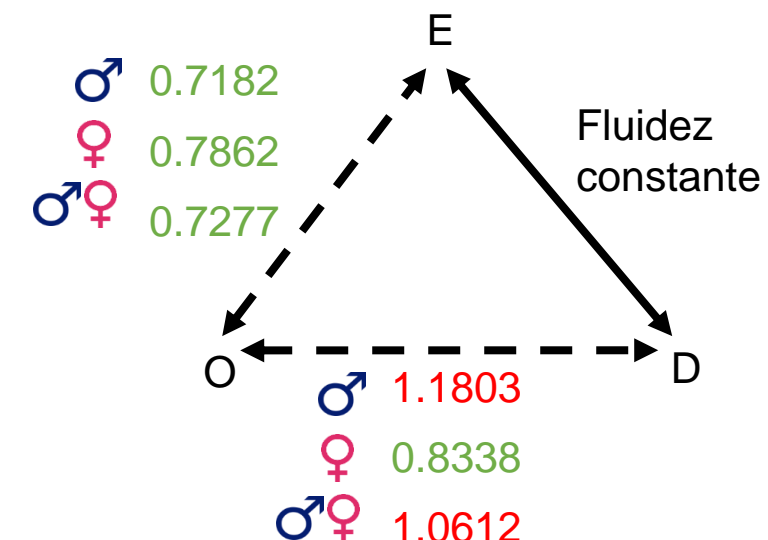
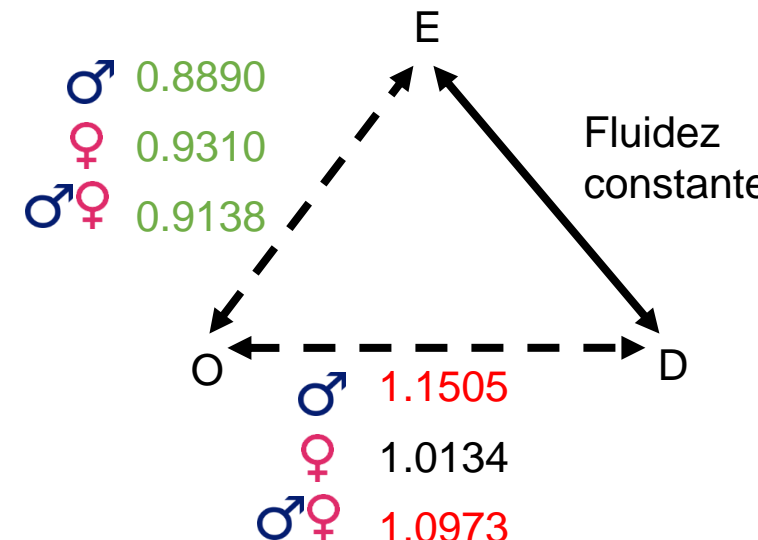
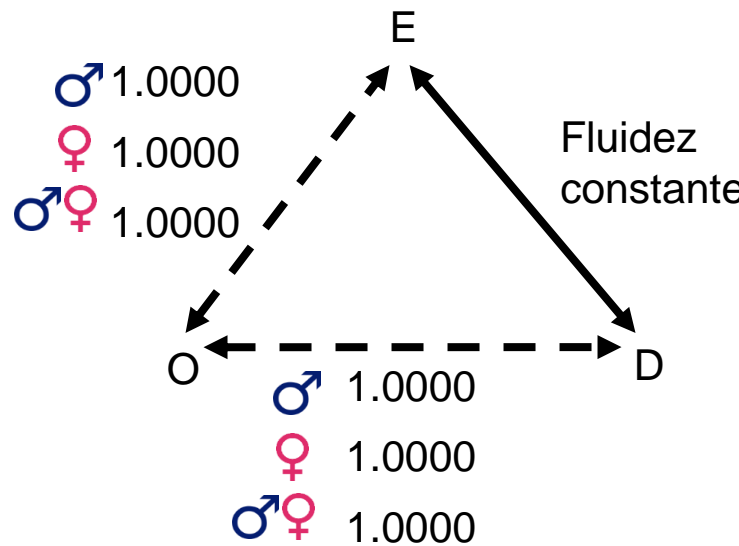
Breadwinner

$$\log F_{ijkl} = \mu + \lambda_i^O + \lambda_j^D + \lambda_k^C + \lambda_l^E + \lambda_{ki}^{CO} + \lambda_{kj}^{CD} + \lambda_{kl}^{CE} + \lambda_{lj}^{ED} + \beta_k X_{il}^{OE-C} + \beta_k X_{ij}^{OD-C}$$

Cohortes: 1941-1955 (1971-1985)

1956-1970 (1986-2000)

1971-1985 (2001-2015*)



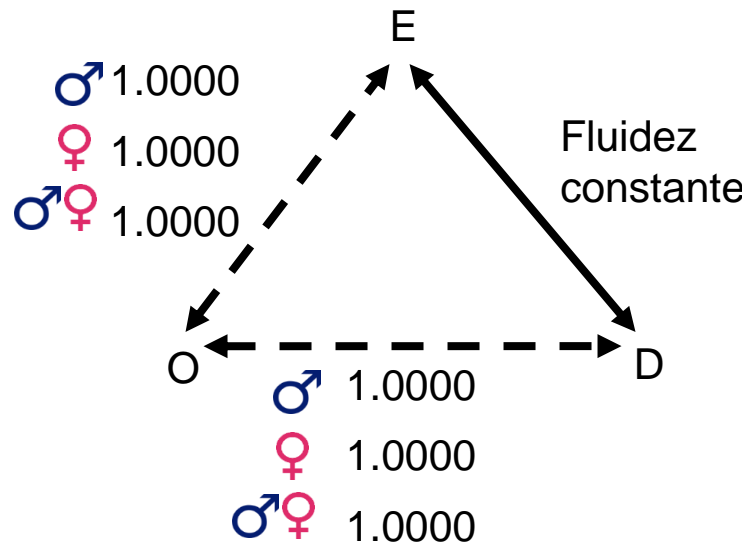
	L ²	gl	Sig.	n	BIC	Pseudo-R ²	Δ	L ² (S)	Sig. L ² (S)	L ² dif. Sig.
♂	402.899	331	0.004	15259	-2785.599	95.7%	5.09%	347.2	0.259	0.002
♀	396.556	331	0.007	14292	-2770.278	95.9%	5.17%	344.4	0.294	0.002
♂♀	427.858	331	0.000	29551	-2979.415	97.7%	3.93%	351.9	0.206	0.000

4. DOBLE UNIDIFF ADITIVO: E-D CONSTANTE / 1. OE-C + 2. OD-C

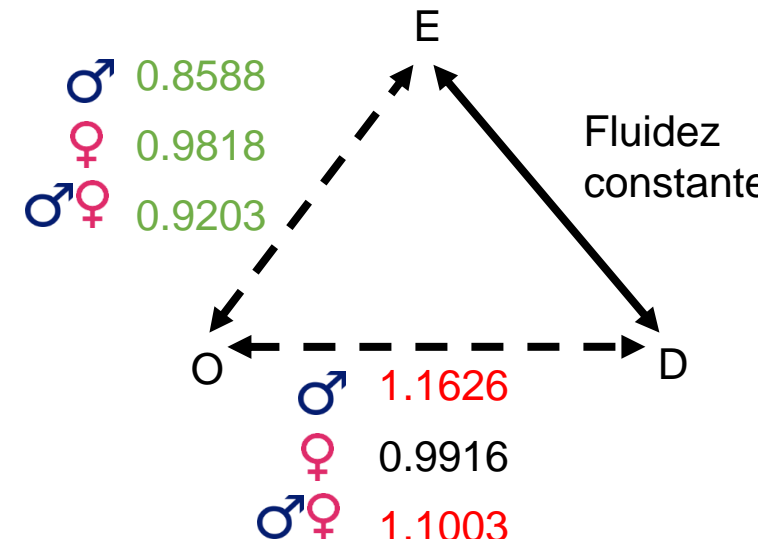
Dominancia

$$\log F_{ijkl} = \mu + \lambda_i^O + \lambda_j^D + \lambda_k^C + \lambda_l^E + \lambda_{ki}^{CO} + \lambda_{kj}^{CD} + \lambda_{kl}^{CE} + \lambda_{lj}^{ED} + \beta_k X_{il}^{OE-C} + \beta_k X_{ij}^{OD-C}$$

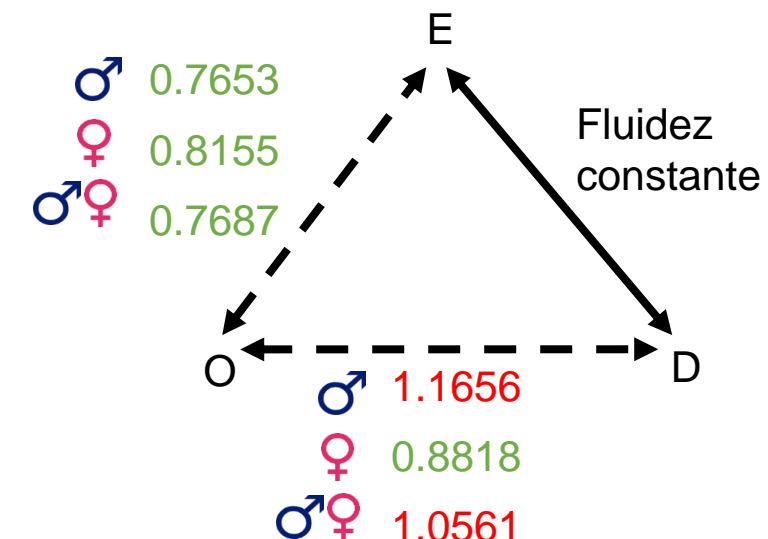
Cohortes: 1941-1955 (1971-1985)



1956-1970 (1986-2000)



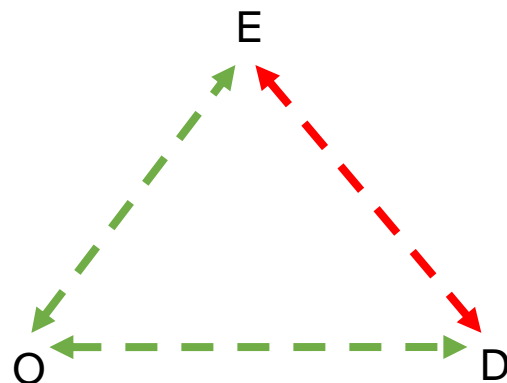
1971-1985 (2001-2015*)



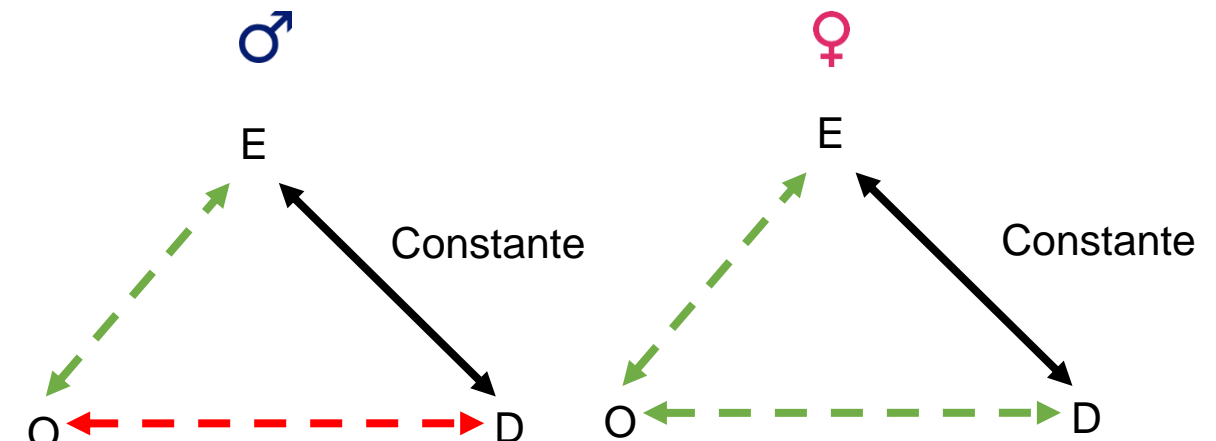
	L ²	gl	Sig.	n	BIC	Pseudo-R ²	Δ	L ² (S)	Sig. L ² (S)	L ² dif. Sig.
♂	408.309	331	0.002	15723	-2790.113	95.7%	5.17%	349.5	0.232	0.008
♀	401.872	331	0.005	14793	-2776.367	96.0%	5.17%	345.6	0.279	0.026
♂♀	455.578	331	0.000	30514	-2962.311	97.6%	4.10%	358.9	0.140	0.000

Conclusión teórica del Modelo 4

Teoría de la modernización



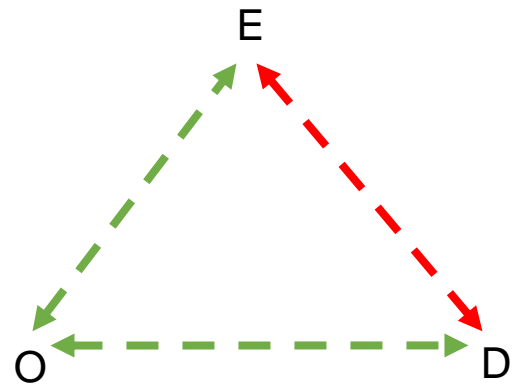
Resultados



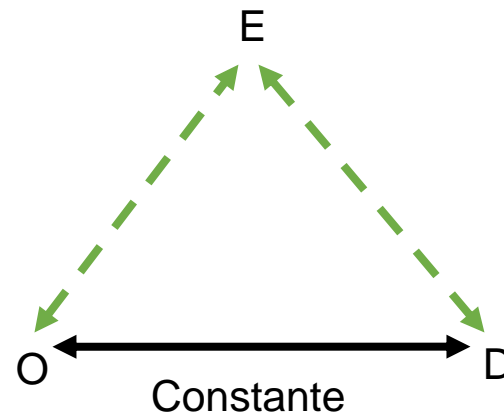
Conclusiones teóricas: Modelos CEOD

Resultados

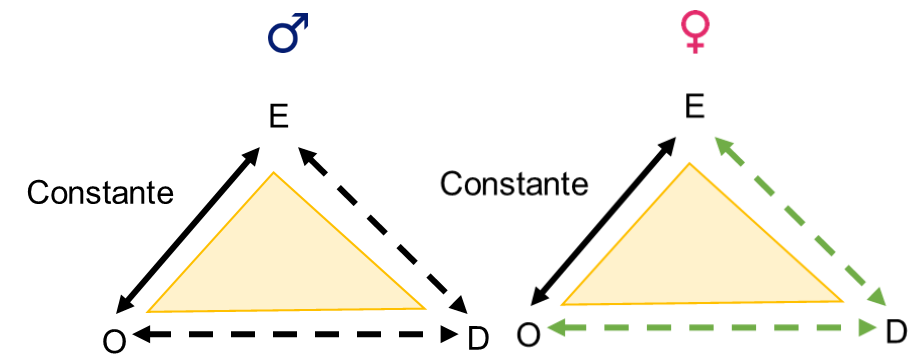
Teoría de la modernización



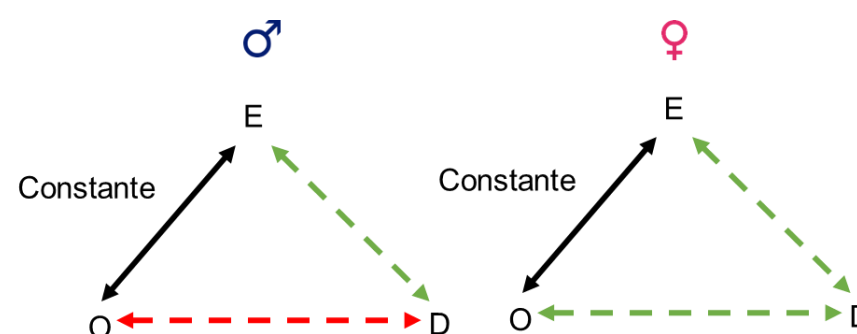
Modelo 1



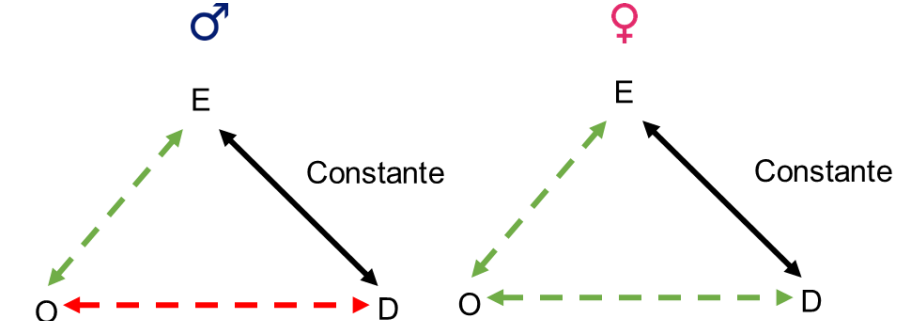
Modelo 2



Modelo 3



Modelo 4



Conclusiones y discusión

- En lo que respecta a la asociación bruta origen-destino ninguna de las hipótesis encuentra globalmente apoyo empírico.
- Mientras que la hipótesis de la invarianza se cumple para los hombres la hipótesis de la mejora leve de la movilidad se verifica para las mujeres.
- Todo parece indicar que habría que cambiar la aproximación metodológica. En lugar de considerar los países europeos centrales como un ejemplo de patrón normal de industrialización habría que considerarlos como una excepción.
- En este sentido, enfocar la movilidad social de España desde la teoría de la industrialización tardía podría resultar más adecuado.
- Puede ser aclarativo al respecto la existencia de algunas macro-variables: el gasto educativo, ayudas financieras y tipos de estados de bienestar.

Muchas Gracias

Dominancia: Máximo nivel ocupación padre o madre

Homogamia ocupacional	1941 a 1980
Homogamia	15
Dominancia Padre (1)	73
Dominancia Madre (2)	12
Razón de dominancia del Padre (1) sobre la Madre (2)	6,4
Total	100
N	32.372

Esquema de clases*	Ocupación del Padre	Máximo nivel ocupacional padre o madre
I+II Clase de Servicio	10,9	12,4
IVab Pequeña Burguesía	15,3	16,6
III Rutina no manual	9,9	11,8
V+VI Trabajadores cualificados	18,6	17,5
VIIa Trabajadores no cualificados	20,8	20,1
VIIb+IVc Trabajadores Rurales	24,5	21,5
Total	100,0	100,0

* Nombre EyGLD (1993:38-39) según esquema de 7 clases

Esquema de clases en 3	Ocupación del Padre	Máximo nivel ocupacional padre o madre
No manual	36,1	40,9
Manual	39,3	37,6
Agrícolas	24,5	21,5
Total	100,0	100,0

TABLE 2.2. Scores for classes of the schema on different occupational scales as a basis for a threefold hierarchical division

Scale*	Class						
	I+II	III	IVa+b	IVc	V+VI	VIIa	VIIb
Treiman	56	35	42	44	35	29	24
Hope-Goldthorpe (England)	63	36	39	47	40	29	31
Wegener (FRG)	92	50	49	50	49	39	30
Irish Occupational Index (all Ireland)	58	30	42	42	37	24	26
de Lillo-Schizzerotto (Italy)	71	41	51	48	34	20	11
Naoi (Japan)	62	41	37	37	41	33	30
Duncan (USA)	66	27	46	25	33	17	14
Division	1		2		3		

Note: Fuente: Erikson y Goldthorpe (1993: 45)

* The international Treiman scale and those for the FRG, Ireland, and Japan are intended as scales of occupational prestige, although constructed in different ways; the English scale and also, it would seem, the Italian, are intended as ones of the general desirability of occupations in popular estimation; and the US scale, while originally constructed as a proxy for a prestige scale, is now generally interpreted as one of the socio-economic status of occupations. For further details, see Treiman (1977a), Goldthorpe and Hope (1974), Wegener (1988), Boyle (1976), de Lillo and Schizzerotto (1985), Naoi (1979), and Duncan (1961).